

3.2. Классическая электронная теория проводимости.

Можно ли понять экспериментальные закономерности электрического тока, исходя из известных классических представлений о движении зарядов и структуре вещества? В этом параграфе мы рассмотрим простую микроскопическую модель, позволяющую объяснить опытные законы для тока в электрической цепи – *законы Ома и Джоуля - Ленца*.

3.2.1. Модель проводника. Закон Ома.

Рассмотрим следующую модель *металла* (или проводника): в объеме, созданном положительными ионами (ионной решеткой), находятся свободные электроны, которые, можно считать, слабо связанными с ионами. В отсутствие внешнего электрического поля свободные электроны движутся хаотически со средней кинетической (тепловой) энергией

$$\frac{m\langle v^2 \rangle}{2} = \frac{3}{2}kT.$$

Оценим среднюю квадратичную скорость этих электронов при нормальной температуре ($T = 300^\circ K$):

$$\sqrt{\langle v^2 \rangle} = \sqrt{\frac{3kT}{m}} = \sqrt{\frac{3 \cdot 1.38 \cdot 10^{-16} \cdot 300}{9 \cdot 10^{-28}}} \approx \sqrt{\frac{10^{-14}}{10^{-28}}} \approx 10^7 \frac{cm}{c} \approx 100 \frac{km}{c} \quad (3.2.1)$$

Включаем внешнее электрическое поле, тогда на электрон действует сила

$$\vec{F} = -e\vec{E} = m \frac{d\vec{v}}{dt} \quad (3.2.2)$$

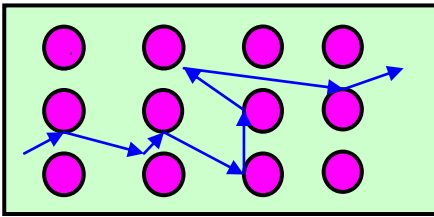


Рис. 2.1.

Под действием этой силы у электронов начинается упорядоченное движение. Движение электрона в действительности оказывается очень сложным (рис. 2.1), т. к. упорядоченное движение электронов под влиянием внешнего поля накладывается на хаотическое. При этом взаимодействие электрона с решеткой (столкновение с ионами решетки) играет важную роль. Полная скорость движения вдоль выбранного направления поля по оси x равна сумме хаотической скорости v_x и скорости упорядоченного движения u , называемой *скоростью дрейфа*:

$$v = v_x + u \quad (3.2.3)$$

Более точно нужно рассматривать уравнение движения вдоль оси x – уравнение Ньютона:

$$F_0 - eE = m \frac{d}{dt}(v_x + u) \quad (3.2.4)$$

Здесь F_0 – проекция на ось x суммарной силы, действующей на электрон со стороны ионов и других электронов, определяющая, в частности, столкновения с ними. Обычно $u \ll v_x$. Если усреднить уравнение (3.2.4) по всем электронам, то средняя проекция хаотической скорости равна нулю

$$\left\langle \frac{dv_x}{dt} \right\rangle = 0,$$

при этом появится также средняя сила взаимодействия электронов с ионами $\langle F_0 \rangle$, которая “отбирает” энергию у электронов, приобретенную в электрическом поле.

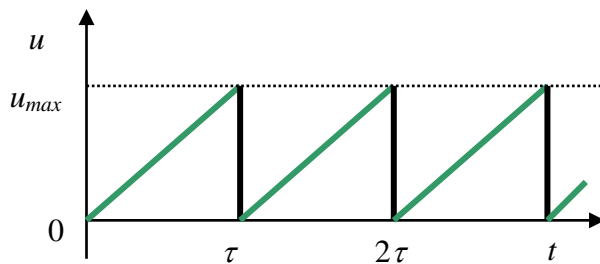


Рис. 2.2.

Нас интересует только упорядоченное движение зарядов – *ток*, поэтому сложную картину передачи энергии от электронов ионам (воздействие $\langle F_0 \rangle$) заменим более простой. А именно, рассматриваем следующую модель. Электрон ускоряется под влиянием поля в течение времени τ , приобретает скорость упорядоченного движения u_{max} , затем сталкивается с атомом (ионом) решетки и передает ему всю приобретенную энергию, полученную от ускоряющего поля. А затем вновь

разгоняется до скорости u_{max} , сталкивается с новым ионом и т.д. Если построить график зависимости *дрейфовой скорости* u от времени, то получим пилообразную кривую (см рис. 2.2). Для такой модели имеются веские основания, поскольку электрон обладает скоростью теплового движения (в соответствие с распределением Максвелла), существенно большую u_{max} , и после очередного столкновения он просто «забывает» об упорядоченном движении.

На рис.2.2 временной интервал τ – *время релаксации* неравновесного распределения электронов (заряда) к тепловому равновесию с кристаллической решеткой, оно характеризует скорость возвращения к этому равновесию. С другой стороны, τ имеет смысл среднего времени между столкновениями, т.е. времени свободного пробега:

$$\tau = \frac{\langle l \rangle}{\langle v \rangle},$$

где $\langle l \rangle$ – средняя длина свободного пробега, а $\langle v \rangle$ – средняя скорость беспорядочного (теплового) движения. При этом частота столкновений определяется величиной обратной времени между столкновениями τ^{-1} . Таким образом, действие силы $\langle F_0 \rangle$ сводится к “сбрасыванию” приобретенной скорости u через каждые τ секунд. А в течение τ секунд упорядоченное движение определяется только силой электрического поля eE , т.е. электрон движется с постоянным ускорением $a = eE/m$.

Тогда средний путь, проходимый электроном от одного столкновения до последующего столкновения, равен

$$S = \frac{a\tau^2}{2} = \frac{eE}{2m} \tau^2 \quad (3.2.5)$$

Средняя скорость дрейфа равна

$$u = \frac{S}{\tau} = \frac{eE}{2m} \tau = \frac{eE\langle l \rangle}{2m\langle v \rangle} \quad (3.2.6)$$

Скорость упорядоченного движения u обратно пропорциональна частоте соударений

$$\frac{\langle v \rangle}{\langle l \rangle} = \frac{1}{\tau},$$

т.е. уменьшается с ростом температуры. Итак, используя (3.2.6) и формулы для определения плотности тока (3.1.2), получаем для плотности тока следующее выражение:

$$\vec{j} = ne\vec{u} = \frac{ne^2\langle l \rangle}{2m\langle v \rangle} \vec{E} = \sigma_R \vec{E} \quad (3.2.7)$$

Таким образом, получили закон Ома в дифференциальной форме. Из (3.2.7) проводимость определяется из следующей формулы:

$$\sigma_R = \frac{ne^2\langle l \rangle}{2m\langle v \rangle} \quad (3.2.8)$$

Итак, *классическая проводимость* прямо пропорциональна плотности носителей заряда, квадрату величины заряда и обратно пропорциональна квадратному корню из температуры: $\sigma_R \sim n, e^2, T^{-1/2}$.

Часто вводится понятие *подвижности носителей* заряда, как отношение скорости дрейфа к напряженности электрического поля:

$$\mu = \frac{\langle u \rangle}{E} \quad (3.2.9)$$

При этом получаем связь между подвижностью и проводимостью:

$$\vec{j} = en\langle \vec{u} \rangle = en\mu\vec{E} = \sigma_R \vec{E}$$

$$\mu = \frac{\sigma_R}{en} = \frac{e\langle l \rangle}{2m\langle v \rangle} \quad (3.2.10)$$

Опыт дает для подвижности электронов в металлах: $\mu_e \sim (10^{-4} - 10^{-3}) \text{ м}^2/\text{В}\cdot\text{с}$ (в системе СИ). Отсюда также видно, что скорость дрейфа в металлах, в самом деле, значительно меньше средней скорости теплового движения. Если имеется несколько сортов носителей, то у каждого из них своя подвижность μ_i и тогда проводимость проводника равна:

$$\sigma_R = \sum_i q_i n_i \mu_i \quad (3.2.11)$$

Рассмотрим кратко *единицы измерения* введенных величин. В системе CGSE удельное сопротивление измеряется в секундах:

$$\rho_R = \frac{E}{j} = \frac{\text{заряд}/\text{см}^2}{\text{заряд}/\text{с}\cdot\text{см}^2} = \text{с}.$$

Для металлов, к примеру, меди Cu $\rho_R \sim 10^{-17} \text{ с}$ (металл), для стекла $\rho_R \sim 10^3 \text{ с}$ (диэлектрик). В системе СИ удельное сопротивление измеряется в Ом·м. Подробнее о системах единиц для электрических величин рассмотрим далее в §3.5. Здесь же в Таблице уместно привести единицы заряда, тока, сопротивления и связи между ними в двух системах единиц:

Физические величины	CGSE	СИ	Связь единиц
Заряд q	1 CGSE _q	1 Кл	1 Кл = $3 \cdot 10^9$ CGSE _q
Ток I	1 CGSE _I	1 А = 1 Кл / 1 с	1 А = $3 \cdot 10^9$ CGSE _I
Плотность тока j	1 CGSE _j	1 А/м ²	1 А/м ² = $3 \cdot 10^5$ CGSE _j
Разность потенциалов U	1 CGSE _φ = 1 CGSE _q / см	1 В = 1 Дж·Кл ⁻¹	1 В = $1/300$ CGSE _φ
Сопротивление R	1 CGSE _R	1 Ом = 1 В·А ⁻¹	1 Ом = $1/9 \cdot 10^7$ CGSE _R
Удельное сопротивление ρ_R	1 CGSE _ρ = 1 с	1 Ом·м	1 Ом·м = $1/9 \cdot 10^9$ CGSE _ρ
Удельная проводимость σ_R	1 CGSE _σ = 1 с ⁻¹	1 См·м ⁻¹ = 1 Ом ⁻¹ ·м ⁻¹	1 См·м ⁻¹ = $9 \cdot 10^9$ CGSE _σ

3.2.2. Закон Джоуля - Ленца.

Итак, в рамках рассматриваемой модели за время τ электрон набирает максимальную скорость

$$u_{max} = a\tau = \frac{eE \langle l \rangle}{m \langle v \rangle} \text{ и приобретает, соответственно, кинетическую энергию, равную}$$

$$W_K = \frac{mu_{max}^2}{2} = \frac{1}{2} m \frac{e^2 E^2 \langle l \rangle^2}{m^2 \langle v \rangle^2} = \frac{e^2 E^2 \langle l \rangle^2}{2m \langle v \rangle^2} \quad (3.2.12)$$

Частота столкновений одного электрона с атомами определяется обратным временем свободного пробега:

$$\frac{1}{\tau} = \frac{\langle v \rangle}{\langle l \rangle}.$$

Тогда полное число соударений электронов в единице объема и в единицу времени ν зависит от числа электронов в единице объема (прямо пропорционально концентрации n) и определяется:

$$\nu = \frac{n \langle v \rangle}{\langle l \rangle} \quad (3.2.13)$$

Каждый акт соударения сопровождается передачей набранной кинетической энергии упорядоченного движения W_K атомам или ионам проводника. Следовательно, в рамках принятой модели выделяемая теплота в единице объема за единицу времени, т.е. объемная плотность мощности, равна:

$$\frac{dw}{dt} = W_K \frac{n \langle v \rangle}{\langle l \rangle} = \frac{e^2 n \langle l \rangle}{2m \langle v \rangle} E^2 = \sigma_R E^2 \quad (3.2.14)$$

Здесь мы воспользовались уже определенным ранее выражением для проводимости (3.2.8). Итак, получаем закон Джоуля - Ленца в дифференциальной форме

$$\frac{\delta Q}{dt dV} = \frac{dw}{dt} = \sigma_R E^2 = \frac{j^2}{\sigma_R} = \rho_R j^2 \quad (3.2.15)$$

Мощность тепла, выделяемого в единице объема пропорциональна квадрату плотности электрического тока и обратно пропорциональна удельной проводимости.

Переход к обычной записи закона Джоуля - Ленца для участка цепи осуществляется интегрированием по объему провода

$$\frac{dQ}{dt} = \int \frac{j^2}{\sigma_R} dV = \int \frac{j^2}{\sigma_R} S dl = I^2 \int \frac{dl}{\sigma_R S} = I^2 R \quad (3.2.16)$$

где S – поперечное сечение провода, dl – элемент длины и R – сопротивление рассмотренного участка провода.

3.2.3. Закон Видемана - Франца. Недостатки классической теории.

В итоге классическая теория смогла объяснить, по крайней мере, качественно опытные законы Ома и Джоуля - Ленца. Что касается количественного согласия, дело обстоит гораздо хуже. Однако отметим, что классические представления и не должны были обеспечивать количественного согласия с экспериментальными законами, поскольку движение электронов в веществе относится к явлениям микромира, которые описываются в рамках квантовой физики.

Тем не менее, классическая теория смогла объяснить еще один результат, который случайно хорошо согласуется с опытом. И хотя классический вывод этого соотношения неверен, сам результат оказался правильным, поэтому приведем его.

Металлы – хорошие проводники не только электричества, но и тепла. В рамках той же модели металла переносчиками электричества и тепла в металлах являются одни и те же частицы – электроны. Поэтому основной механизм теплопроводности должны обеспечивать свободные электроны. При этом роль ионов в переносе тепла пренебрежимо мала. В курсе Молекулярной физики (см Глава 5, §5.3, формула (5.3.4)) было получено следующее выражение для коэффициента теплопроводности:

$$\chi = \frac{1}{3} n \langle v \rangle \langle l \rangle \frac{i}{2} k = \frac{1}{3} n \langle v \rangle \lambda \frac{C_V}{N_A} = \frac{1}{3} n \langle v \rangle \lambda c_v \quad (3.2.17)$$

где n и ρ – концентрация и плотность электронов, $\langle l \rangle = \lambda$ – длина свободного пробега электрона. Здесь C_V и $c_v = ik/2$ – молярная теплоемкость и теплоемкость на 1 электрон, соответственно, i – число степеней свободы ($i = 3$ для электрона), k – постоянная Больцмана ($k = 1.3807 \cdot 10^{-16}$ Эрз/К = $1.3807 \cdot 10^{-23}$ Дж/К), N_A – число Авогадро ($N_A = 6.022 \cdot 10^{23}$ моль⁻¹). Найдём отношение коэффициента теплопроводности (3.2.17) и удельной электропроводности (3.2.8):

$$\frac{\chi}{\sigma_R} = \frac{\frac{1}{3} n \langle v \rangle \lambda \frac{3}{2} k}{\frac{1}{2} \frac{e^2 n}{m} \lambda} = \frac{m \langle v \rangle^2 k}{e^2} \quad (3.2.18)$$

В рамках рассматриваемой приближенной теории учитывать разницу между средней скоростью и среднеквадратичной скоростью есть превышение точности, поэтому можно положить $\langle v \rangle^2 \approx \langle v^2 \rangle$ и

$\frac{m \langle v \rangle^2}{2} = \frac{3}{2} kT$. Тогда отношение (3.2.18) принимает вид:

$$\frac{\chi}{\sigma_R} = 3 \left(\frac{k}{e} \right)^2 T \quad (3.2.19)$$

Это **закон Видемана-Франца** – отношение коэффициента теплопроводности и удельной электропроводности для всех металлов одно и то же:

$$\frac{\chi}{\sigma_R} = 2.23 \cdot 10^{-8} T \quad (3.2.21)$$

и зависит только от температуры.

Оказалось, что закон Видемана-Франца находится в хорошем согласии с опытом. Как далее оказалось, это согласие – случайное для классического описания. При нашем модельном описании мы не учитывали Максвелловское распределение электронов по скоростям, что на самом деле необходимо сделать. В рамках классического описания Л.Лоренц учел его и получил вместо “3” фактор “2”, что только ухудшило согласие

с экспериментом. Зоммерфельд показал, что квантовая теория дает коэффициент $\pi^2/3$, что хорошо совпадает с простейшим классическим результатом “3”.

Вообще классическая модель наглядна и дает правильные качественные зависимости, выражаемые законами Ома, Джоуля – Ленца, Видемана – Франца. Однако она не приводит к правильным количественным результатам. Рассмотрим, в чем состоят основные *расхождения* и недостатки классической теории:

- 1) Оказалось, что чтобы получить правильные значения электропроводности σ_R , необходимо принимать очень большие значения длины свободного пробега электронов, на три порядка превышающие межатомные расстояния, что не находит убедительного объяснения в классической физике.
- 2) Классическая теория предсказывает также другую зависимость удельной проводимости от температуры:

$$\sigma_R \sim \frac{1}{\sqrt{T}}, \text{ в то же время эксперимент дает } \sigma_R \sim \frac{1}{T}.$$

- 3) В теплоемкость металлического проводника, согласно “классике”, аддитивный вклад вносят электронный газ $C_v = \frac{3}{2}R$ и решетка $C_v = 3R$ (закон Дюлонга и Пти), что в сумме дает $C_v = \frac{9}{2}R$. Однако этот результат не находит подтверждения в эксперименте.

Квантовая физика позволяет устранить эти расхождения. Прежде всего, необходимо учитывать различие в поведении микрочастиц и обычных макрочастиц. Квантовая физика допускает, как называли ранее, “дуализм” в поведении микрочастиц, т.е. приписывает им корпускулярные и волновые свойства.

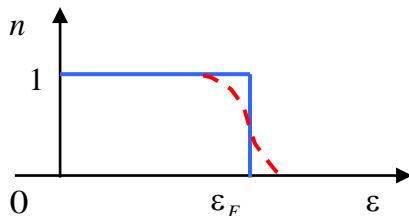


Рис. 2.3.

Именно последние позволяют “обтекать” атомы без столкновений, что приводит к увеличению длины свободного пробега электронов.

Распределение электронов по энергиям подчиняется *квантовой статистике Ферми - Дирака* (см рис. 2.3). На рис. 2.3. представлено распределение плотности свободных электронов по энергиям. Согласно статистике Ферми-Дирака, в состоянии с определенной энергией не может находиться более одного электрона. Таким образом, при нуле температуры электроны занимают все возможные нижние энергетические состояния от

нуля вплоть до максимальной энергии – *энергии Ферми* ϵ_F . В образовании электронной проводимости и теплоемкости участвует лишь малая часть электронов, имеющих энергии вблизи *уровня Ферми* ϵ_F . Именно поэтому электронный газ не вносит существенного вклада в теплоемкость и теплоемкость близка к закону Дюлонга - Пти ().

Квантовая физика предсказывает для температурной зависимости проводимости $\sigma_R \sim 1/T$, что и наблюдается в эксперименте. При сверхнизких температурах (ниже 20 K) в металлах наблюдается явление сверхпроводимости, открытое еще в начале века. Однако в конце 80-х годов была обнаружена сверхпроводимость при температурах $90\text{--}160\text{ K}$, причем на керамических материалах. Подобные явления уже не вписываются в картину представлений классической физики, а являются прерогативой физики квантовой. Позже мы вернемся к этим явлениям.

Отметим также, что в разных конденсированных средах – твердых телах, жидкостях, газах, вакууме – реализуется, в принципе, различный механизм проводимости.

Примечание 1. *Густав Генрих Видеман, немецкий физик, 1826–1899.*

Рудольф Франц, немецкий физик, 1827-1902.

Людвиг Валентин Лоренц, датский физик-теоретик, 1829–1891.

Арнольд Иоганн Вильгельм Зоммерфельд, немецкий физик-теоретик, 1868–1951.

Энрико Ферми, итальянский физик, 1901–1954, Нобелевская премия 1938 г. за открытие искусственной радиоактивности.

Поль Адриен Морис Дирак, английский физик-теоретик, 1902–1984, в 1933 г. - Нобелевская премия за создание квантовой механики.

Пьер Луи Дюлонг, французский физик и химик, 1785–1838.

Алексис Терез Пти, французский физик, 1791–1820.

3.2.4. Электрические цепи. ЭДС. Законы Кирхгофа.

Для того, чтобы поддерживать ток, необходимо поддерживать электрическое поле и осуществлять круговорот зарядов в цепи, при котором они двигались по замкнутому пути. В замкнутой цепи наряду с участками, на которых положительные носители тока движутся в сторону убывания потенциала, должны быть участки, на которых перенос положительных зарядов происходит в направлении возрастания потенциала, т.е. против сил электростатического поля.

Перемещение носителей на этих участках возможно лишь с помощью сил неэлектростатического происхождения, называемых *сторонними силами*. Сторонние силы можно характеризовать работой, которую они совершают. Работа, совершенная сторонними силами над единичным положительным зарядом, называется *электродвижущей силой* (ЭДС):

$$E = \frac{A}{q} \quad (3.2.22)$$

Очевидно, что размерность ЭДС совпадает с размерностью потенциала.

Рассмотрим неоднородный участок электрической цепи, содержащий сопротивления и источники ЭДС. Можно также ввести понятие напряженности поля сторонних сил E_{cm} :

$$\vec{E}_{cm} = \frac{\vec{F}_{cm}}{q} \quad (3.2.23)$$

Работа сторонних сил на неоднородном участке электрической цепи 1 – 2 равна

$$A_{cm} = q \int_1^2 \vec{E}_{cm} d\vec{l} \quad (3.2.24)$$

Тогда работа сторонних сил на этом участке цепи по перенесению единичного заряда – ЭДС на участке цепи – равна:

$$E_{12} = \frac{A}{q} = \int_1^2 \vec{E}_{cm} d\vec{l} \quad (3.2.25)$$

Для замкнутой цепи получаем полную ЭДС в цепи как циркуляция вектора напряженности сторонних сил:

$$E = \oint \vec{E}_{cm} d\vec{l} \quad (3.2.26)$$

Кроме сторонних сил на заряд действуют силы электростатического поля \vec{E} , тогда результирующая сила равна:

$$\vec{F} = q(\vec{E} + \vec{E}_{cm}) \quad (3.2.27)$$

Работа, совершаемая этой силой на участке цепи 1 – 2 определяется:

$$A_{12} = q \int_1^2 \vec{E} d\vec{l} + q \int_1^2 \vec{E}_{cm} d\vec{l} = q(\varphi_1 - \varphi_2) + qE_{12} \quad (3.2.28)$$

Тогда падение напряжения на этом участке цепи определяется:

$$U_{12} = \varphi_1 - \varphi_2 + E_{12} \quad (3.2.29)$$

Можно записать закон Ома для неоднородного участка цепи. На неоднородном участке цепи на носители тока действуют электростатические и сторонние силы. Тогда плотность тока записывается

$$\vec{j} = \sigma(\vec{E} + \vec{E}_{cm}) \quad (3.2.30)$$

Умножая скалярно вектор плотности тока на вектор элемента проводника длиной dl и вспоминая, что $\sigma_R = 1/\rho_R$, имеем:

$$\begin{aligned} \vec{j} d\vec{l} &= \sigma_R (\vec{E} + \vec{E}_{cm}) d\vec{l} \\ I \rho_R \frac{dl}{S} &= (\vec{E} + \vec{E}_{cm}) d\vec{l} \end{aligned} \quad (3.2.31)$$

Интегрируя по всему участку цепи, получаем *закон Ома для участка цепи*:

$$I \int_1^2 \rho_R \frac{dl}{S} = IR = \int_1^2 (\vec{E} + \vec{E}_{cm}) d\vec{l} = \varphi_1 - \varphi_2 + E_{12}$$

$$I = \frac{\Phi_1 - \Phi_2 + E_{12}}{R} \quad (3.2.32)$$

Если интегрирование распространяется на всю замкнутую цепь, то получаем *закон Ома для полной цепи*:

$$\oint \vec{E} d\vec{l} + \oint \vec{E}_{cm} d\vec{l} = 0 + \oint \vec{E}_{cm} d\vec{l} = E = IR \quad (3.2.33)$$

Здесь мы воспользовались тем, что работа электростатического поля по замкнутому пути, или иначе сумма всех потенциалов в замкнутой цепи, равна нулю.

Разбивая сопротивление всей цепи на сопротивление внешнего участка цепи $R_{внешней}$ и внутреннее r_0 сопротивление источника, или источников, получаем обычную формулу для ЭДС замкнутой цепи:

$$E = I(R_{внешней} + r_0) \quad (3.2.34)$$

На практике для вычисления токов и падений напряжений на различных участках разветвленных электрических цепей полезны правила Кирхгофа, основанные на законах сохранения заряда и энергии. Прежде всего по всей цепи распределяем направление токов на каждом из участков цепи и определяем направление действия ЭДС. Далее используем первое правило Кирхгофа: *алгебраическая сумма токов, сходящихся в узле, равна нулю*

$$\sum_i I_i = 0 \quad (3.2.35)$$

Затем применяем второе правило Кирхгофа для обхода замкнутого контура в цепи. Выбирая направление обхода для любого выделенного в цепи замкнутого контура, получаем:

$$\sum_i I_i R_i = \sum_k E_k \quad (3.2.36)$$

Иначе, *сумма всех падений напряжений на участках выбранного замкнутого контура равна алгебраической сумме ЭДС в этом контуре.*

Примечание 2. Густав Роберт Кирхгоф, 1824–1887, немецкий физик, член Берлинской академии наук, с 1862 г. член-корреспондент Санкт-Петербургской академии наук.
